

Расчеты показывают, что при $d/r_{di} \leq 1,5$ можно получить КПД рекуперации $\sim 90\%$. Учет влияния рассеянного магнитного поля на траектории приводит к следующим результатам. Магнитное поле порядка $0,02 \text{ H}$ незначительно искажает траектории и, следовательно, мало влияет на КПД рекуперации; поле порядка $H_{kp} = 0,1 \text{ H}$ уже является опасным (где $\bar{H} = McV_0/er_{di}$ — характерный масштаб магнитного поля). Для параметров пучка $W_0 = 160 \text{ кэВ}, I = 200 \text{ A}, j = 65 \text{ mA/cm}^2, r_{di} = 13 \text{ см}$ размеры рекуператора таковы: $x_p = 52,4 \text{ см}, H = 6300 \text{ Гс}, H_{kp} = 630 \text{ Гс}$ ($d = 20 \text{ см}, d/r_{di} = 1,5$).

Для устранения опасности возникновения виртуального анода предлагается создать на собирающей поверхности слой термоэмиттеров, при этом электроны будут компенсировать избыточный ионный заряд и отражения ионов не произойдет. Чтобы устраниить влияние маг-

нитного поля, ограничивающего подвижность электронов, необходимо снизить внешнее магнитное поле до 10 Гс и создать дополнительное магнитное поле $\sim 10-20 \text{ Гс}$, ориентированное примерно по нормали к собирающей поверхности. В этом случае электроны могут уходить достаточно далеко от поверхности рекуперации навстречу потоку ионов, а энергия электронов не будет превышать 100 эВ и не будет сильно снижать эффективность прямого преобразования энергии ионов.

Поступила в Редакцию 8.IV.77

СПИСОК ЛИТЕРАТУРЫ

1. Bender D., Barr W., Moir R. Preprint UCRL-77239, 1975.
2. Молоковский С. И., Сушкин А. Д. Интенсивные электронные и ионные пучки. Л., «Энергия», 1972.
3. Вычислительные методы в физике плазмы. Под ред. Б. Олдера и др. М., «Мир», 1974.
4. Смирнов В. М. «ЖЭТФ», 1966, т. 50, вып. 4, с. 1005.

УДК 621.039.524.4:621.039.311.2

Исследование возможностей накопления ^{233}U в реакторах типа ВВЭР при минимальном образовании ^{232}U

Юрова Л. Н., Поляков А. А., Рухло В. П., Титаренко Ю. Е., Бобров С. А.

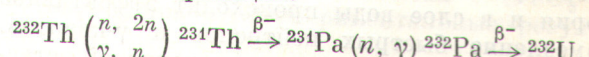
В настоящей работе исследованы условия относительного накопления ^{232}U и ^{233}U при различных способах и композициях загрузки ^{232}Th в реактор типа ВВЭР. Исследования проводились на уран-водной подкритической сборке, имитирующей кассету водо-водяных энергетических реакторов.

При облучении ^{232}Th потоком нейтронов и γ -квантов наряду с накоплением ^{233}U происходит образование ^{232}U , продукты α -распада которого излучают высокоэнергетические γ -кванты. Наличие высокоэнергетического γ -излучения в выгружаемом топливе значительно усложняет его переработку и последующее использование ^{233}U . Поэтому в работе основное внимание уделялось исследованию возможностей уменьшения накопления ^{232}U по отношению к накоплению ^{233}U .

Способы уменьшения относительного накопления $^{232}\text{U}/^{233}\text{U}$ при облучении тория

Схема ядерных превращений ^{232}Th при облучении в реакторе представлена на рис. 1. Накопление ^{232}U в основном определяется следую-

щей цепочкой реакций:



Характерной особенностью процесса образования ядер ^{232}U при облучении тория являются пороговые $(n, 2n)$ - и (γ, n) -реакции на ^{232}Th , ^{233}Pa и ^{233}U ($E_{\text{пор}}^{232\text{Th}} = 6,4 \text{ МэВ}, E_{\text{пор}}^{233\text{Pa}} = 6,0 \text{ МэВ}, E_{\text{пор}}^{233\text{U}} = 5,9 \text{ МэВ}$) [1], которые указывают на возможность снижения скорости накопления ^{232}U за счет уменьшения плотности потока нейтронов и γ -квантов с энергиями выше порога этих реакций.

Источники излучений, вызывающих образование ^{232}U , можно условно разделить на две группы: внешние источники, обусловленные рождением нейтронов и γ -квантов вне тория, и внутренние источники — нейтроны и γ -кванты деления ^{233}U , накапливающегося в тории. Вклад внешних источников при работе реактора на постоянной мощности практически не изменяется в процессе всей кампании, в то время как вклад внутренних источников будет увеличиваться с накоплением ^{233}U и при его достаточно высоких концентрациях станет определяющим.

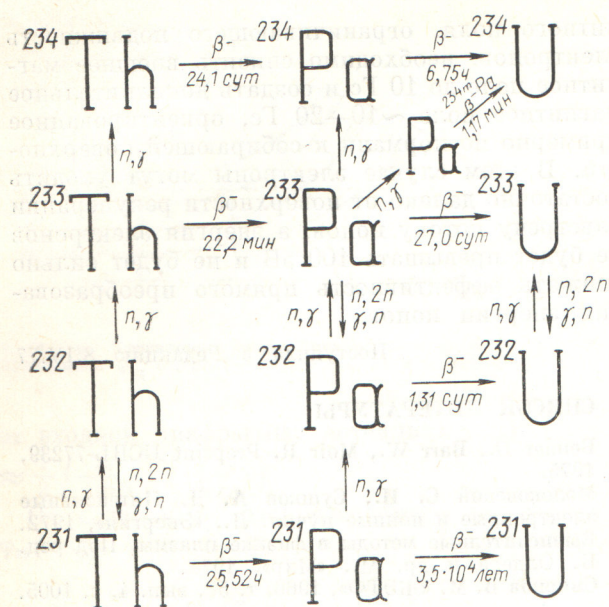


Рис. 1. Схема ядерных превращений ^{232}Th при облучении в реакторе

Для защиты от внешних источников излучения был рассмотрен следующий вариант: в центре активной зоны уран-водной подкритической сборки помещалась вставка из ториевых стержней. В этом случае на внешних рядах тория и в слое воды происходит эффективное замедление быстрых нейтронов и γ -квантов. Очевидно, что при отсутствии в ториевой вставке материалов, являющихся источниками высокоэнергетичных захватных γ -квантов, такое размещение тория приводит к снижению в среднем по вставке скорости образования ^{232}U . Кроме того, для дальнейшего уменьшения накопления ^{232}U внешний ряд вставки может быть набран из стержней, заполненных тяжелым элементом, обладающим достаточно большим сечением неупругого рассеяния и малым сечением поглощения нейтронов.

Подобная защита от высокоэнергетических нейтронов и γ -квантов эффективна только в начале кампании, когда концентрация ^{233}U незначительна. Влияние внутренних источников накопления ^{232}U можно значительно уменьшить, поместив внутрь ториевых стержней рассеиватель нейтронов, гомогенно введенный с торием по объему стержней. На практике эта схема была реализована путем изготовления стержней, заполненных смесью двуокиси тория и висмута с достаточно высокой концентрацией последнего. В этом случае уменьшается скорость

накопления ^{232}U и одновременно растет скорость образования ^{233}U за счет увеличения эффективного резонансного интеграла тория.

Методика измерения отношения скоростей реакций, ведущих к образованию ^{233}U и ^{232}U

Условия накопления ^{233}U и ^{232}U можно оценить, измерив скорости (n, γ) - и (γ, n) -реакций на ^{232}Th . Скорость $^{232}\text{Th}(n, \gamma)^{233}\text{Pa}$ -реакции определяли методом γ -спектрометрии. При этом регистрировали интенсивность γ -излучения ^{233}Pa с энергией $E_{\gamma}^{233\text{Pa}} = 311,9$ кэВ и выходом 84% [2].

Изотопы, образующиеся при α -распаде ^{232}Th , создают фон, существенно усложняющий выделение γ -линий ^{231}Th . Это приводит к невозможности прямых измерений скорости $^{232}\text{Th}(n, 2n)^{231}\text{Th}$ -реакций на подкритических и критических установках с малым потоком нейтронов. Поскольку для исследования условий накопления ^{232}U интерес представляют нейтроны с энергией выше 6,5 МэВ, их регистрировали с помощью алюминиевых детекторов по $^{27}\text{Al}(n, \alpha)^{24}\text{Na}$ -реакции, которая имеет эффективный порог $E_{\text{эфф}}^{27\text{Al}(n, \alpha)} = 7,45$ МэВ, достаточно близкий к эффективному порогу $(n, 2n)$ -реакции на $^{232}\text{Th} - E_{\text{эфф}}^{232\text{Th}(n, 2n)} = 7,6$ МэВ [3].

Оценки, проведенные для реакторов типа ВВЭР, показывают, что вклад (γ, n) -реакций в скорость образования ^{232}U составляет не более 18% и может быть учтен расчетным путем.

Экспериментальная установка

Экспериментальные исследования ядерно-физических свойств уран-водной системы при введении в нее тория проводили на подкритической сборке, установленной в физическом зале ИРТ МИФИ [4]. В ходе экспериментов часть урановых твэлов заменяли ториевыми, изго-

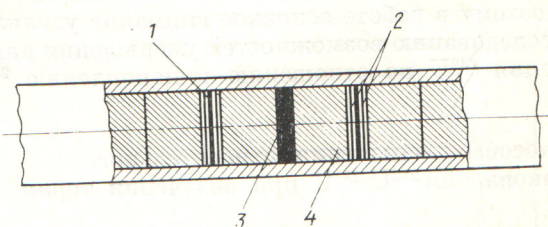


Рис. 2. Схема загрузки образцов в экспериментальный стержень:

1 — алюминиевая фольга; 2 — алюминиевые прокладки; 3 — таблетки из ThO_2 ; 4 — блочки из ThO_2

твленными из таблеток спеченной двуокиси тория диаметром 7,65 мм и плотностью 7,73 г/см³. Размеры и покрытие ториевых стержней идентичны урановым твэлам. Стержни, в которых облучались образцы, имели разборную конструкцию. В измерениях использовали образцы из двуокиси тория толщиной 500 мкм и диаметром 7,65 мм и образцы из химически чистого алюминия толщиной 100 мкм и диаметром 7,65 мм. Схема загрузки образцов в экспериментальный стержень показана на рис. 2.

Результаты измерений

Ториевая вставка различных размеров (внешние источники излучений). Измерения скоростей ^{232}Th (n, γ)- и ^{27}Al (n, α)-реакций (соответственно A^{Th} и A^{Al}) были выполнены при равномерном размещении 37 ториевых стержней по площади подкритической сборки и при увеличении числа ториевых стержней в центральной вставке от 1 до 37. Измеренные скорости реакций и их отношения ($A^{\text{Al}}/A^{\text{Th}}$) представлены в табл. 1, где за единицу принято отношение скоростей реакций в одиночном ториевом стержне, размещенном в центре сборки. При увеличении числа ториевых стержней скорости реакций измеряли в каждом ряду центральной вставки.

Ториевая вставка с ^{235}U (внешние и внутренние источники излучения). Для исследования условий образования ^{232}U и ^{233}U при накопле-

Скорости реакций A^{Al} и A^{Th} и их отношения в центральной ториевой вставке с разным числом ThO_2 -стержней

нии в облученном тории делящегося изотопа были проведены измерения, подобные описанным выше при введении в ториевые стержни добавки из двуокиси урана (6,5% обогащения по ^{235}U). Концентрация урана в стержнях из двуокиси тория составляла 1 кг ^{235}U /1 кг ThO_2 . В этих и последующих опытах образцы для регистрации скорости (n, γ)-реакции не отличались по составу от стержней центральной ториевой вставки.

Висмут-ториевая вставка (внешние источники излучения). Чтобы исследовать влияние тяжелого рассеивателя на скорость накопления ^{233}U и ^{232}U , была проделана серия экспериментов по измерению скоростей ^{232}Th (n, γ)- и ^{27}Al (n, α)-реакций в различных точках центральной вставки, собранной из стержней, заполненных смесью торий — висмут. Концентрация висмута в стержнях составляла 92%. Схема загрузки образцов и методика облучений оставались аналогичными описанным выше.

Висмут-ториевая вставка с ^{235}U (внешние и внутренние источники излучения). Влияние накопления делящегося изотопа на скорость ^{232}Th (n, γ)- и ^{27}Al (n, α)-реакций при наличии в ториевых стержнях тяжелого рассеивателя изучали на центральной вставке, собранной из стержней, заполненных смесью $\text{ThO}_2 + \text{Bi}$ (92%) + UO_2 (6,5% обогащения по ^{235}U). Соотношение между содержанием UO_2 и ThO_2 сохранено таким же, как и в опытах с ($\text{ThO}_2 + \text{UO}_2$)-вставкой. Экспериментальные резуль-

Таблица 1

Число ThO_2 -стержней	Измеряемая активность	Ряд вставки, в котором проводились измерения				Среднее по вставке	Равномерное размещение 37 стержней из ThO_2
		первый	второй	третий	четвертый		
1	A^{Al}	$1 \pm 0,029$				$1,000 \pm 0,039$	—
	A^{Th}	$1 \pm 0,019$	—	—	—		
	$A^{\text{Al}}/A^{\text{Th}}$	$1 \pm 0,039$					
1+6	A^{Al}	$0,784 \pm 0,026$	$0,826 \pm 0,013$			$0,664 \pm 0,016$	—
	A^{Th}	$1,432 \pm 0,035$	$1,207 \pm 0,048$	—	—		
	$A^{\text{Al}}/A^{\text{Th}}$	$0,547 \pm 0,023$	$0,684 \pm 0,015$				
1+6+12	A^{Al}	$0,566 \pm 0,009$	$0,614 \pm 0,015$	$0,639 \pm 0,015$		$0,543 \pm 0,016$	—
	A^{Th}	$1,404 \pm 0,017$	$1,256 \pm 0,023$	$1,097 \pm 0,019$	—		
	$A^{\text{Al}}/A^{\text{Th}}$	$0,403 \pm 0,008$	$0,489 \pm 0,015$	$0,582 \pm 0,017$			
1+6+12+18	A^{Al}	$0,410 \pm 0,022$	$0,436 \pm 0,022$	$0,489 \pm 0,024$	$0,533 \pm 0,024$	$0,967 \pm 0,029$	$0,948 \pm 0,018$
	A^{Th}	$1,041 \pm 0,019$	$1,097 \pm 0,022$	$1,026 \pm 0,024$	$0,921 \pm 0,018$		
	$A^{\text{Al}}/A^{\text{Th}}$	$0,394 \pm 0,022$	$0,397 \pm 0,022$	$0,477 \pm 0,025$	$0,579 \pm 0,029$	$0,511 \pm 0,016$	$1,020 \pm 0,060$

Скорости реакций A^{Al} и A^{Th} и их отношения
в центральной вставке при разной ее загрузке

Таблица 2

Загрузка	Измеряе- мая актив- ность	Ряд вставки, в котором проводились измерения				Среднее по вставке	Равномерное размещение 37 стержней из ThO_2
		первый	второй	третий	четвертый		
ThO_2	A^{Al}	$0,410 \pm 0,022$	$0,436 \pm 0,022$	$0,489 \pm 0,024$	$0,533 \pm 0,024$	$0,511 \pm 0,016$	$0,967 \pm 0,029$
	A^{Th}	$1,041 \pm 0,019$	$1,097 \pm 0,022$	$1,026 \pm 0,024$	$0,921 \pm 0,018$		$0,948 \pm 0,018$
	A^{Al}/A^{Th}	$0,394 \pm 0,022$	$0,397 \pm 0,022$	$0,477 \pm 0,025$	$0,579 \pm 0,029$		$1,020 \pm 0,060$
$ThO_2 + UO_2$	A^{Al}	$1,106 \pm 0,035$	$1,046 \pm 0,042$	$0,971 \pm 0,033$	$0,769 \pm 0,037$	$0,893 \pm 0,029$	$1,308 \pm 0,046$
	A^{Th}	$1,071 \pm 0,022$	$1,141 \pm 0,024$	$1,028 \pm 0,023$	$0,912 \pm 0,026$		$0,955 \pm 0,017$
	A^{Al}/A^{Th}	$1,033 \pm 0,039$	$0,917 \pm 0,042$	$0,945 \pm 0,037$	$0,843 \pm 0,049$		$1,370 \pm 0,081$
$ThO_2 + Bi$	A^{Al}	$0,396 \pm 0,022$	$0,438 \pm 0,018$	$0,529 \pm 0,026$	$0,544 \pm 0,024$	$0,380 \pm 0,011$	$0,927 \pm 0,037$
	A^{Th}	$1,375 \pm 0,024$	$1,617 \pm 0,026$	$1,471 \pm 0,021$	$1,248 \pm 0,022$		$0,929 \pm 0,017$
	A^{Al}/A^{Th}	$0,288 \pm 0,017$	$0,271 \pm 0,012$	$0,360 \pm 0,019$	$0,436 \pm 0,021$		$0,998 \pm 0,059$
$ThO_2 + Bi + UO_2$	A^{Al}	$0,672 \pm 0,026$	$0,650 \pm 0,024$	$0,606 \pm 0,022$	$0,579 \pm 0,018$	$0,430 \pm 0,010$	$0,962 \pm 0,044$
	A^{Th}	$1,361 \pm 0,016$	$1,602 \pm 0,014$	$1,519 \pm 0,022$	$1,274 \pm 0,024$		$0,931 \pm 0,021$
	A^{Al}/A^{Th}	$0,494 \pm 0,020$	$0,406 \pm 0,015$	$0,399 \pm 0,016$	$0,454 \pm 0,016$		$1,033 \pm 0,061$

таты для различных композиций центральной вставки из 37 ториевых стержней представлены в табл. 2.

Обсуждение результатов

Полученные экспериментальные зависимости отражают относительные изменения спектра нейтронов в областях, характерных для $^{232}Th(n, \gamma)$ - и $^{232}Th(n, 2n)$ -реакций. Поэтому наблюдаемые закономерности соответствуют изменениям в накоплении ^{232}U и ^{233}U .

Анализ зависимостей скоростей $^{232}Th(n, \gamma)$ - и $^{27}Al(n, \alpha)$ -реакций от геометрии и композиции ториевой вставки показывает, что увеличение размеров ториевой вставки приводит к уменьшению в среднем по вставке доли нейтронов с энергией выше 6,5 МэВ за счет эффективного замедления нейтронов от внешних источников на ядрах тория и водорода. При введении вставки из 37 ториевых стержней получено уменьшение отношения скоростей $^{27}Al(n, \alpha)$ - и $^{232}Th(n, \gamma)$ -реакций по сравнению с равномерным размещением такого же количества ториевых стержней. Введение в ториевую вставку добавки из ^{235}U , имитирующей накопление ^{233}U в исследуемой системе, существенно увеличивает отношение скоростей $^{27}Al(n, \alpha)$ - и $^{232}Th(n, \gamma)$ -реакций за счет внутренних источников нейтронов деления. Разбавление двуокиси тория висмутом приводит к значительно-

му снижению влияния внутренних источников излучений.

Таким образом, при введении в 37 стержней центральной вставки смесей $ThO_2 + Bi$ и $ThO_2 + Bi + UO_2$ измеряемое отношение скоростей реакций уменьшается примерно в 3 раза по сравнению с равномерным размещением ториевых стержней в UO_2 -сборке. Экстраполяция полученных результатов при дальнейшем увеличении размеров вставок из ($ThO_2 + Bi$)- и ($ThO_2 + Bi + UO_2$)-стержней к стандартным размерам кассеты реакторов типа ВВЭР показывает возможность уменьшения данного отношения в 10–12 раз.

Полученные в работе относительные значения могут быть приведены к абсолютным путем измерения отношений скоростей $^{27}Al(n, \alpha)/^{232}Th(n, \gamma)$ - и $^{232}Th(n, 2n)/^{232}Th(n, \gamma)$ -реакций на действующих энергетических реакторах типа ВВЭР.

Поступила в Редакцию 4.V.77

СПИСОК ЛИТЕРАТУРЫ

1. «Trans. Amer. Nucl. Soc.», 1971, v. 14, p. 807.
2. Bowman W., MacMurdo K. «Atomic Data and Nucl. Data Tables», 1974, v. 13, № 2–3.
3. Бондарс Х. Н., Вейнберг Я. К., Лапенас А. А. В кн.: Ядерные константы. Вып. 15. М., Атомиздат, 1974, с. 63.
4. Юрова Л. Н. и др. «Атомная энергия», 1978, т. 44, вып. 6, с. 518.